

ผลของอันดับการเสื่อมสภาพต่อการทำนายอายุของตัวเร่งปฏิกิริยา

Effect of order of deactivation on catalyst lifetime prediction

พัชรพล ใจเพชร¹, รศ.ดร.ผึ้งพาย พวรรณวดี¹, กมลชนก ป้านส่ง¹, รศ.ดร.เมตตา เจริญพาณิช¹,
ผศ.ดร.ธงไชย วิจูรย์¹

¹ ภาควิชาวิศวกรรมเคมี คณะวิศวกรรมศาสตร์ มหาวิทยาลัยเกษตรศาสตร์ กรุงเทพฯ 10900

บทคัดย่อ

งานวิจัยนี้ได้จำลองเชิงคณิตศาสตร์เพื่อศึกษาลักษณะเฉพาะของสมรรถนะของปฏิกิริณ์สำหรับกระบวนการสตีมมีเทนรีฟอร์มิ่ง ในเครื่องปฏิกิริณ์แบบท่อไอลอตตราการเสื่อมสภาพหรือการเปลี่ยนแปลงของความว่องไวตามเวลาแสดงในรูปของ Power-law โดยที่มีอันดับการเสื่อมสภาพอยู่ในช่วงระหว่างศูนย์ถึงสามโพล์ของความว่องไวภายในปฏิกิริณ์คำนวนสำหรับแต่ละค่าของอันดับการเสื่อมสภาพในระหว่างการปฏิบัติการ การคำนวนอายุของตัวเร่งปฏิกิริยาที่กำหนดโดยค่าการแปลงผันของมีเทนแสดงให้เห็นว่า เมื่ออันดับการเสื่อมสภาพมีค่าสูงจะทำให้อายุของตัวเร่งปฏิกิริยาที่ทำนายได้มีค่าสูง ผลลัพธ์นี้แสดงให้เห็นว่า อันดับของการเสื่อมสภาพมีผลกระทบอย่างมากต่อการทำนายอายุตัวเร่งปฏิกิริยา

คำสำคัญ : สตีมมีเทนรีฟอร์มิ่ง, อันดับของการเสื่อมสภาพ, อายุตัวเร่งปฏิกิริยา

Abstract

Numerical simulation was performed to investigate some characteristics of steam methane reforming reactor performance. A plug flow reactor model was applied. The rate of catalyst deactivation or the change in the catalytic activity with time was described by a power-law expression in which the order of the deactivation ranges from zero to three. The activity profiles in the reactor were calculated for each value of the order of deactivation during the operation period. It was found that, when a given methane conversion is used to determine the date to replace the catalyst, the higher order gives a higher calculated catalyst lifetime. This result shows that the order of the deactivation greatly affects the calculation for the catalyst lifetime.

Keywords: Steam Methane Reforming, Order of Deactivation, Catalyst Lifetime

บทนำ

ในปัจจุบันหลาย ๆ ประเทศทั่วโลกได้ให้ความสำคัญกับการใช้น้ำมันเชื้อเพลิงที่ได้จากการกลั่นน้ำมันดิบ และได้ตระหนักถึงผลกระทบต่อสิ่งแวดล้อมและปริมาณของน้ำมันดิบที่ลดลงอย่างต่อเนื่อง ส่งผลให้มีการศึกษาเกี่ยวกับพัฒนาทางเลือกน้อย่างแพร่หลาย ซึ่งไฮโดรเจน (Hydrogen) เป็นเชื้อเพลิงทางเลือกที่ทั่วโลกกำลังให้ความสนใจ ข้อดีของไฮโดรเจนคือเป็นพลังงานที่สะอาดไม่ก่อให้เกิดมลพิษใด ๆ อีกทั้งยังให้ความร้อนที่สูงถึง 120.1 กิโลจูลต่อกรัมซึ่งมากกว่าแก๊สโซลินหรือดีเซล (Bossel, 2003) และไฮโดรเจนยังสามารถนำไปใช้ประโยชน์ในกระบวนการอื่น ๆ อีกด้วย เช่น ใช้ปรับปรุงไฮโดรเจนต่อการรับอนของเชื้อเพลิงในกระบวนการการกลั่นน้ำมันหรือ ไฮโดรเจนชั้น (Hydrogenation) เป็นต้น (Lipman, 2011) ใน การผลิตไฮโดรเจนกระบวนการการที่นิยมใช้ในเชิงพาณิชย์มากที่สุดคือกระบวนการการเกิดปฏิกิริยาสตีมมีเทนเรฟอร์มมิ่ง (Steam methane reforming) เพราะให้ผลผลิตที่สูงและดีที่สุด (Hazzim and Wan Daud, 2010) วิธีการคือป้อนไอน้ำเข้าสู่ระบบเพื่อทำปฏิกิริยากับสารประกอบไฮโดรคาร์บอนที่อยู่ในสถานะก๊าซ เช่น ก๊าซธรรมชาติหรือก๊าซชีวภาพ เป็นต้น ไอน้ำจะทำปฏิกิริยากับสารประกอบไฮโดรคาร์บอนบนตัวเร่งปฏิกิริยาที่เป็นของแข็งและได้ผลิตภัณฑ์คือไฮโดรเจน ควรบ่อนอนออกไซด์ และควรบอนไดออกไซด์ ตัวเร่งปฏิกิริยาที่นิยมใช้ได้แก่โลหะนิกเกล (Nickel) ซึ่งมีราคาถูกกว่าโลหะชนิดอื่นที่เป็นตัวเร่งปฏิกิริยาแต่มีปัญหาด้านการเสื่อมสภาพง่ายตัวเร่งปฏิกิริยานิดอื่น ๆ (Beurden, 2004)

ปฏิกิริยาสตีมเรฟอร์มมิ่งเป็นกระบวนการที่มีปฏิกิริยาหลักเป็นปฏิกิริยาดูดความร้อน ทำให้ปฏิกิริยานี้เกิดขึ้นได้ดีที่สภาวะอุณหภูมิสูง ($>600^{\circ}\text{C}$) นอกจากนี้ การเพิ่มอัตราส่วนของไอน้ำต่อสารประกอบไฮโดรคาร์บอนยังมีส่วนช่วยเพิ่มการทำปฏิกิริยาอีกด้วย (Beurden, 2004) ซึ่งสภาวะที่กล่าวมาทั้งหมดเป็นสาเหตุหลักที่ทำให้ตัวเร่งปฏิกิริยาเสื่อมประสิทธิภาพลงอย่างต่อเนื่อง โดยมีกลไกการเสื่อมประสิทธิภาพหลัก ๆ ได้แก่ การเกิดโคก (Coking) พิษจากซัลเฟอร์ (Sulfur poisoning) และการเผาผนึก (Sintering) (Hashemnejad and Parvari, 2011)

ในปฏิกิริยแบบเบนนิ่งโดยทั่วไปแล้วการเสื่อมสภาพของตัวเร่งปฏิกิริยาจะเกิดขึ้นที่ด้านหน้าของปฏิกิริยาก่อนด้านหลังของปฏิกิริยานี้ (Fogler, 2006) การทำงานสมรรถนะของปฏิกิริยานี้ใช้ดำเนินปฏิกิริยาขึ้นอยู่กับสมการการเสื่อมสภาพของตัวเร่งปฏิกิริยา โดยที่อัตราเร็วของการเสื่อมสภาพ ($-da/dt$) ที่แสดงอยู่ในรูปของ Power-law มักจะเป็นอยู่ในรูปที่เปรียบตาม an เมื่อ a คือความว่องไวต่อการเกิดปฏิกิริยาและ n คืออันดับของการเสื่อมสภาพ (Order of deactivation) ในที่นี้ n จะมีค่าอยู่ระหว่าง 0-3 (Levenspiel, 1999) บทความนี้จะรายงานผลของค่า n ต่ออัตราณะเขตของสมรรถนะของปฏิกิริยานี้และอายุตัวเร่งปฏิกิริยา

วัตถุประสงค์ของงานวิจัย

ศึกษาผลของอันดับการเสื่อมสภาพต่อการทำงานอายุของตัวเร่งปฏิกิริยา

ขอบเขตการวิจัย

การจำลองแบบสำหรับทำนายการเติ่อมสภาพของตัวเร่งปฏิกิริยาในปฏิกิริยานิดเบดนิ่งในกระบวนการสตีมมีเทนรีฟอร์มมิ่ง สำหรับตัวเร่งปฏิกิริยาโลหะนิกเกิลบนตัวรองรับอลูมินาภายใต้อุณหภูมิและความดันคงที่ โดยใช้สมการอัตราการเกิดปฏิกิริยาที่ครอบคลุมทั้ง 3 ปฏิกิริยาคือ (Hou and Hughes, 2001)

- ปฏิกิริยาสตีมมีเทนรีฟอร์มมิ่ง (Steam Methane Reforming) :



- ปฏิกิริยาอเตอร์แก๊สชิฟต์ (Water gas-shift) :



- ปฏิกิริยาผันกลับของการเกิดมีเทน (Reverse Methanation) :



โดยมีอัตราการเติ่อมสภาพแสดงอยู่ในรูป Power-law และอันดับความว่องไวจะมีค่าอยู่ระหว่าง 0-3

การทบทวนวรรณกรรม

ปฏิกิริยาหลักในการผลิตไฮโดรเจนด้วยกระบวนการสตีมมีเทนรีฟอร์มมิ่ง มี 3 ปฏิกิริยาหลักได้แก่ สมการที่ (1) (2) และ (3)

การเกิดปฏิกิริยาในกระบวนการสตีมมีเทนรีฟอร์มมิ่ง (steam methane reforming reaction)

Hou and Hughes (2001) ได้ทำการทดลองเพื่อศึกษาผลผลิตของปฏิกิริยาที่ (1) (2) และ (3) บนตัวเร่งปฏิกิริยา Ni/ α -Al₂O₃ ในปฏิกิริยามีเทนรีฟอร์มมิ่งด้วยไอน้ำ ภายใต้สภาวะคงที่ไม่มีความต้านทานจากการแพร่ แสดงไว้ดังนี้

อัตราเร็วการเกิดปฏิกิริยาของปฏิกิริยาสตีมมีเทนรีฟอร์มมิ่ง (r_1)

$$r_1 = \frac{k_1 \left(\frac{P_{\text{CH}_4} P_{\text{H}_2\text{O}}^{0.5}}{P_{\text{H}_2}^{1.25}} \right) \left(1 - \left(\frac{P_{\text{CO}} P_{\text{H}_2}^3}{K_{P_1} P_{\text{CH}_4} P_{\text{H}_2\text{O}}} \right) \right)}{(den)^2} \quad (4)$$

อัตราเร็วการเกิดปฏิกิริยาของปฏิกิริยาอเตอร์แก๊สชิฟต์ (r_2)

$$r_2 = \frac{k_2 \left(\frac{P_{\text{CO}} P_{\text{H}_2\text{O}}^{0.5}}{P_{\text{H}_2}^{0.5}} \right) \left(1 - \left(\frac{P_{\text{CO}_2} P_{\text{H}_2}}{K_{P_2} P_{\text{CO}} P_{\text{H}_2\text{O}}} \right) \right)}{(den)^2} \quad (5)$$

อัตราเร็วการเกิดปฏิกิริยาของปฏิกิริยาผันกลับของการเกิดมีเทน (r_3)

$$r_3 = \frac{k_3 \left(\frac{P_{CH_4} P_{H_2O}}{P_{H_2}^{1.75}} \right) \left(1 - \left(\frac{P_{CO_2} P_{H_2}^4}{K_{P_3} P_{CH_4} P_{H_2O}^2} \right) \right)}{(den)^2} \quad (6)$$

โดยที่

$$den = 1 + K_{CO} P_{CO} + K_H P_H^{0.5} + K_{H_2O} \left(\frac{P_{H_2O}}{P_{H_2}} \right) \quad (7)$$

และ

k_1, k_3 คือ ค่าคงที่อัตราของปฏิกิริยา 1 และ 3 ตามลำดับ ($kmol/(kg_{cat}.s)(kPa)^{0.25}$)

k_2 คือ ค่าคงที่อัตราของปฏิกิริยา 2 ($kmol/(kg_{cat}.s)(kPa)$)

K_{CO} คือ สัมประสิทธิ์การดูดซับของ CO (kPa^{-1})

K_H คือ สัมประสิทธิ์การดูดซับของ H (kPa^{-1})

K_{H_2O} คือ สัมประสิทธิ์การดูดซับของ H₂O (kPa^{-1})

K_{p1}, K_{p3} คือ ค่าคงที่สมดุลของปฏิกิริยาที่ 1 และ 3 ตามลำดับ (kPa^2)

K_{p2} คือ ค่าคงที่สมดุลของปฏิกิริยาที่ 2 (kPa^2)

P_i คือ ความดันย่อยขององค์ประกอบ i (kPa)

พารามิเตอร์ในการหาค่าคงที่ของปฏิกิริยา (k_j) ค่าคงที่สมดุล (K_{pj}) และค่าสัมประสิทธิ์การดูดซับ (K_i) แสดงไว้ในตารางที่ 1

ตารางที่ 1 ค่าพลังงานกระตื้น, ค่าความร้อนของการดูดซับและพรีเอ็กโนแหนนเชียลแฟกเตอร์

ค่าคงที่	พรีเอ็กโนแหนนเชียลแฟกเตอร์ $A(kk); A(Ki)$	พลังงานกระตื้น, E_k (kJ/mol) ความร้อนของการดูดซับ $(-\Delta H)k$ (kJ/mol)
k_1 ($kmol / (kg_{cats} kPa^{0.25})$)	5.922×10^8	209.2
k_2 ($kmol / (kg_{cats} kPa)$)	6.028×10^{-4}	15.4
k_3 ($kmol / (kg_{cats} bar^{0.25})$)	1.093×10^3	109.4
K_{CO} (bar^{-1})	5.127×10^{-13}	-140
K_{H_2O} (-)	9.251	15.9
K_{H_2} (bar^{-1})	5.68×10^{-10}	-93.4

ค่าคงที่ปฏิกิริยาสมดุลเคมี

$$K_{p,1} = 1.198 \times 10^{17} \exp(-26830/T), (\text{kPa})^2$$

$$K_{p,2} = 1.767 \times 10^{-2} \exp(4400/T), -$$

$$K_{p,3} = 2.117 \times 10^{15} \exp(-22430/T), (\text{kPa})^2$$

การเสื่อมสภาพของตัวเร่งปฏิกิริยา (Catalyst Deactivation)

ภายใต้สภาวะของกระบวนการในอุตสาหกรรมพบว่าอัตราการเกิดปฏิกิริยาจะลดลงไปตามเวลา หรือตามการเสื่อมสภาพของตัวเร่งปฏิกิริยาดังนี้ สมการอัตราของปฏิกิริยาจึงต้องเพิ่มเทอมแสดงความว่องไวของตัวเร่งปฏิกิริยา (a) ที่อธิบายสมรรถนะของตัวเร่งปฏิกิริยาที่ลดลง อันเนื่องมาจากการเสื่อมสภาพนี้ด้วย (Levenspiel, 1999) โดยที่

$$a = \frac{\text{อัตราการหายไปของปฏิกิริยาที่ตัวเร่งปฏิกิริยาที่ใช้งานแล้ว}}{\text{อัตราการหายไปของปฏิกิริยาโดยตัวเร่งปฏิกิริยาใหม่}} = \frac{-r_j}{-r_{j_0}} \quad (11)$$

อัตราการเสื่อมสภาพของตัวเร่งปฏิกิริยาโดยทั่วไปสามารถอธิบายได้โดยสมการ

$$-\frac{da}{dt} = k_d P_j^m a^n \quad (12)$$

a คือ ความว่องไวของตัวเร่งปฏิกิริยา

P_j คือ ความดันย่อยของปฏิกิริยา j ในที่นี่คือมีเทน (CH_4)

k_d คือ ค่าคงที่อัตราการเสื่อมสภาพของตัวเร่งปฏิกิริยา

m คือ อันดับของปฏิกิริยาโดยในที่นี่สมมุติให้ $m=1$

t คือ เวลา (วินาที)

n คือ อันดับของปฏิกิริยาการเสื่อมสภาพของตัวเร่งปฏิกิริยา

สำหรับ n ที่มีค่าสูงจะสะท้อนถึงความต้านทานการแพร่ในรูปรุนของเม็ดตัวเร่งปฏิกิริยาที่สูง (Levenspiel, 1999)

วิธีการดำเนินการวิจัย

งานวิจัยนี้ทำการศึกษาผลของความความแตกต่างของอันดับการเสื่อมสภาพ (n) ที่แตกต่างกัน (0 ถึง 3) ว่ามีผลอย่างไรต่อการทำงานอายุตัวเร่งปฏิกิริยาในการสร้างแบบจำลองในปฏิกิริยาได้ตั้งข้อสมมติฐานดังต่อไปนี้

1. กระบวนการดำเนินไปที่สภาวะไม่ขึ้นกับเวลา (Steady state)
2. อุณหภูมิไม่เปลี่ยนแปลง คงที่ทั้งปฏิกิริยา (Isothermal)
3. ถือว่าความดันในปฏิกิริยานี้คงที่ไม่เปลี่ยนแปลงในแต่ละการปฏิบัติการ

- ความเข้มข้นของก๊าซแต่ละชนิดเปลี่ยนแปลงตามแนวความยาวปั๊กรถท่านั้น
 - รูปแบบการไหลของของไอลในปั๊กรถเป็นแบบท่อไอล (Plug flow)

กระบวนการสตีมมีเทนรีฟอร์મิ่งมีจักษณ์ประกอบอยู่ 6 ชนิดด้วยกัน คือ มีเทน (CH_4), น้ำ (H_2O), ไฮโดรเจน (H_2), คาร์บอนมอนอกไซด์ (CO), คาร์บอนไดออกไซด์ (CO_2), และไนโตรเจน (N_2) สมการคุณภาพในปฏิกรณ์สำหรับกำกษาและชนิดเดี่ยวนี้ไว้ดังนี้

$$\frac{dF_{CH_4}}{dz} = aA\rho(-r_1 - r_3) \quad (13)$$

$$\frac{dF_{H_2O}}{dz} = aA\rho(-r_1 - r_2 - 2r_3) \quad (14)$$

$$\frac{dz}{dF_{CO}} = aA\rho(r_1 - r_3) \quad (15)$$

$$\frac{dz}{dF_{CO_2}} = aA\rho(r_2 + r_3) \quad (16)$$

$$\frac{dz}{dF_{H_2}} = aA\rho(3r_1 + r_2 + 4r_3) \quad (17)$$

$$\frac{dz}{dF_{N_2}} = 0 \quad (18)$$

A คือ พื้นที่หน้าตัดของปฏิกรณ์ (m²)

ρ คือ มวลของตัวเร่งปฏิกิริยาต่อปริมาตรของเบด (kg cat/m³)

โดยมีแบบจำลองของสมการการเสื่อมสภาพของตัวเร่งปฏิกิริยาที่ใช้ในการจำลองแบบดังนี้

$$\frac{da}{dt} = -k_d P_{CH_4} a^n, \quad (0 \leq n \leq 3) \quad (19)$$

สมการ (13) - (17) คือ สมการแบบจำลองของปฏิกิริณ์ในกระบวนการสารเคมีที่มีเทนรีฟอร์มิ่งที่จะใช้คำนวณหาค่าการแปลงผันของมีเทน (Methane conversion) และสมการที่ (19) คือสมการแบบจำลองที่ใช้ในการคำนวณหาอายุเหลือตัวเร่งปฏิกิริยา การหาพารามิเตอร์ที่ปรากฏในแบบจำลองจะใช้ข้อมูลการปฏิกิริยาการเริ่มต้นและคงไว้ในตารางที่ 2

ตารางที่ 2 เงื่อนไขในการจำลองแบบ

สภาพปัจจัยติดการ		
พารามิเตอร์	ค่า	หน่วย
อุณหภูมิปัจจัยติดการ	856.98	องศาเซลเซียส
ความดันปัจจัยติดการ	29.32	บาร์
ความเยาว์ปัจจิตรณ์	12.5	เมตร
อัตราส่วนไอน้ำต่อจำนวนคาร์บอน (S/C ratio)	3.7	-
F_{CH_4}	261.43	โมล/วินาที
F_{H_2O}	967.29	โมล/วินาที
F_{CO}	3.094	โมล/วินาที
F_{CO_2}	37.472	โมล/วินาที
F_{H_2}	5.368	โมล/วินาที
F_{N_2}	2.724	โมล/วินาที

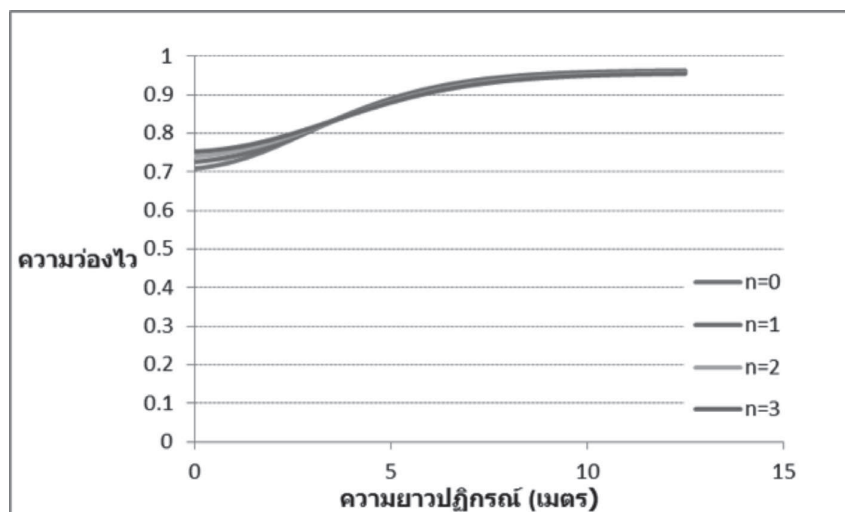
เมื่อ F_i คืออัตราการไหลของโมลของแต่ละองค์ประกอบ และข้อมูลเหล่านี้เป็นข้อมูลเบื้องต้นสำหรับการผลิตไฮโดรเจนในปริมาณ 120 ตันต่อวัน

เมื่อแทนสมการ (4)-(6) ลงในสมการที่ (13)-(17) จะได้รากคูเทอมของพารามิเตอร์ได้แก่ $A\rho k_1$, $A\rho k_2$ และ $A\rho k_3$ ที่งานวิจัยนี้กำหนดให้มีค่าเท่ากับ $264.337 \text{ mol/m.s.kPa}^{0.25}$, 0.244 mol/m.s และ $20.01 \text{ mol/m.s.kPa}^{0.25}$ ตามลำดับ ค่าเหล่านี้จะตรงกับกรณีที่เรากำหนดอัตราส่วน $A\rho k_1:A\rho k_2:A\rho k_3$ เท่ากับ $k_1:k_2:k_3$ ที่รายงานโดย Hou และ Hughes (2001) และตรงกับกรณีที่มีเทนมีค่าการแปลงผันเท่ากับร้อยละ 83.17 สำหรับวันแรกของการปฏิบัติการที่ตัวเร่งปฏิกิริยาซึ่งไม่เสื่อม ส่วนค่าคงที่อื่นๆ ในสมการที่ (13)-(17) ใช้ค่าที่รายงานโดย Hou และ Hughes

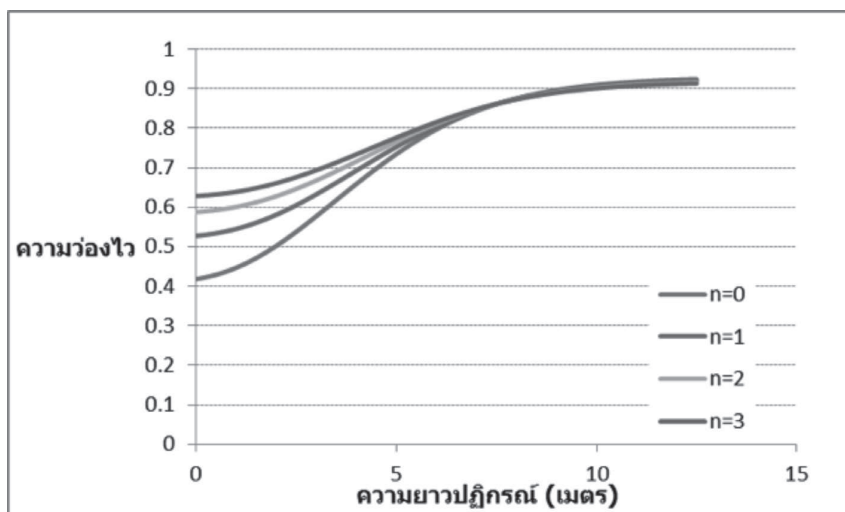
สำหรับค่า kd ที่ปรากฏในสมการที่ (19) มีค่าเท่ากับ เท่ากับ $9.69 \times 10^{-4}, 1.065 \times 10^{-4}, 1.168 \times 10^{-4}$ และ $1.276 \times 10^{-4} \text{ kPa}^{-1}\text{year}^{-1}$ เมื่อ n เท่ากับ 0, 1, 2 และ 3 ตามลำดับ ค่านี้ทำให้ปฏิกิริยาเมื่อสิบสุดปีที่ 5 (เดือนที่ 60) ตัวเร่งปฏิกิริยาจะเสื่อมลงจนกระทั่งค่าการแปลงผันของมีเทนเท่ากับร้อยละ 82.66 การจำลองแบบจะถือว่าแต่ละกรณีที่กำหนดค่าของ n คือ 0, 1, 2 และ 3 มีกรอบการปฏิบัติการที่เหมือนกัน ซึ่งกำหนดโดยค่าการแปลงผันของมีเทนที่เวลาเริ่มต้นและสิบสุดปีที่ 5 เมื่อสิบสุดปีที่ 5 ถือว่าตัวเร่งปฏิกิริยา ยังใช้งานได้ต่อและถือว่าตัวเร่งปฏิกิริยาใช้งานไม่ได้มีการแปลงผันของมีเทนเท่ากับร้อยละ 77.86 แบบจำลองจะถูกใช้เพื่อทำนายว่าตัวเร่งปฏิกิริยาเมื่อยุคการใช้งานไม่ได้มีสำหรับแต่ละค่าของ n

ผลการวิจัย

ภาพที่ 1 และ 2 แสดงถึงไฟล์ของความว่องไว (Activity Profile) ที่เป็นฟังก์ชันต่อความยาวของปฎิกรณ์ในปีที่ 5 และ 10 ตามลำดับ ภาพที่ 1 แสดงว่าไฟล์ของความว่องไวมีลักษณะที่แตกต่างกันเล็กน้อย ทั้ง 4 กรณีให้ค่าการแปลงผันขาออกเท่ากัน และภาพที่ 2 แสดงว่าไฟล์ของความว่องไวมีลักษณะที่แตกต่างกันอย่างชัดเจนซึ่งเกิดจากค่า n หรืออันดับการเสื่อมสภาพที่ต่างกัน และภาพ 2 แสดงด้วยว่าตัวเร่งปฏิกริยาที่ทางเข้าของปฎิกรณ์จะเสื่อมเสื่อมสภาพเร็วกว่าที่ทางออกของปฎิกรณ์



ภาพที่ 1 ไฟล์ความว่องไวตามแนวปฎิกรณ์ที่เวลาสิ้นสุดปีที่ 5



ภาพที่ 2 ไฟล์ความว่องไวตามแนวปฎิกรณ์ที่เวลาสิ้นสุดปีที่ 10

ตารางที่ 3 แสดงอายุของตัวเร่งปฏิกิริยานับตั้งแต่เริ่มใช้เดือนแรกจนถึงเดือนสุดท้ายสำหรับค่า k เท่ากับ 0, 1, 2 และ 3 จะเห็นได้ว่าเมื่อ n มีค่าสูงขึ้นอายุของตัวเร่งปฏิกิริยาจะสูงขึ้น สอดคล้องกับข้อมูลที่แสดงในภาพที่ 2 กล่าวคือเมื่อ n มีค่าสูงขึ้นตัวเร่งปฏิกิริยาจะเสื่อมสภาพช้าลง ทั้งนี้เนื่องจากค่า a จะมีค่าอยู่ระหว่าง 0-1 ดังนั้นเมื่อ n มีค่าสูงขึ้นอัตราการเสื่อมสภาพจึงช้าลง

ตารางที่ 3 อายุตัวเร่งปฏิกิริยาที่ขึ้นกับอันดับการเสื่อมสภาพ

อันดับ (n)	(-da/dt)	อายุตัวเร่งปฏิกิริยา
0	kdPCH4	13 ปี 7 เดือน
1	kdPCH4a	16 ปี 10 เดือน
2	kdPCH4a2	20 ปี 7 เดือน
3	kdPCH4a3	25 ปี 2 เดือน

อภิปรายผลการวิจัย

งานวิจัยนี้ได้จำลองแบบสำหรับปฏิกิริยาสกัดมีเทนรีฟอร์มมิ่ง โดยใช้แบบจำลองอย่างง่ายของ การเสื่อมสภาพของตัวเร่งปฏิกิริยาในรูปของ Power-law ผลการจำลองแบบแสดงไฟล์ของความว่องไวที่เปลี่ยนแปลงตามเวลา ผลการคำนวนแสดงอายุของตัวเร่งปฏิกิริยาที่แตกต่างกันมากเมื่ออันดับการเสื่อมสภาพของตัวเร่งปฏิกิริยาไม่ค่าต่างกันระหว่าง 0 ถึง 3

ข้อเสนอแนะ

ผลลัพธ์ที่รายงานในบทความนี้ ยังไม่ครอบคลุมกรณีที่อัตราการเสื่อมสภาพแสดงคุณภาพนี้ที่ชับช้อนมาก และยังไม่ได้ศึกษาเงื่อนไขของสภาพการปฏิกิริยาที่กว้างขวาง โดยเฉพาะอย่างยิ่งเมื่อมีความไม่แน่นอนของสภาพปฏิกิริยาในแต่ละช่วงเวลา การศึกษาหารือการคำนวนเพื่อการทำนายอายุของตัวเร่งปฏิกิริยาภายใต้สภาพการปฏิกิริยาที่แตกต่างจะเป็นประโยชน์ต่อการวางแผนการผลิต

เอกสารอ้างอิง

- Hashemnejad, S. M., M. Parvari, 2011. **Deactivation and Regeneration of Nickel-Based Catalysts for Steam-Methane Reforming.** Chinese Journal of Catalysis, Vol.32, No.2, 273-279.
- Hazzim F. Abbas, W.M.A. Wan Daud, 2010. **Hydrogen production by methane decomposition: A review,** International Journal of Hydrogen Energy, 35(2010) 1160-1190.
- H. Scott Fogler, 2006. **Elements of Chemical Reacting Engineering fourth edition,** Prentice Hall International Series.

- Hou, K., R. Hughes, 2001. **The kinetics of methane steam reforming over a Ni/ α -Al₂O₃ catalyst.** Chemical Engineering Journal, 82, 311–328.
- Levenspiel, O., 1999. **Chemical Reaction Engineering 3rd Ed.** John Wiley & Sons.
- Timothy Lipman, 2011. **An Overview of Hydrogen Production and Storage Systems with Renewable Hydrogen case studies.** Clean Energy States Alliance.
- U. Bossel, 2003. **Well-to-Wheel studies, heating values, and the energy conversion principle.** In Proc. Eur. Fuel Cell forum.
- Van Beurden, P., 2004. **On the catalytic aspects of steam-methane reforming, A Literature Survey.** Report of ECN, the Netherlands, 1-27.